

Faire avancer la sûreté nucléaire

# Méta-analyse des données de contamination des arbres en <sup>137</sup>Cs dans les forêts japonaises (2011-2015)

M.A. Gonze<sup>1</sup>, P. Calmon<sup>1</sup>, P. Hurtevent<sup>1</sup>, F. Coppin<sup>1</sup>, V. Nicoulaud<sup>1</sup>, C. Mourlon<sup>1</sup> and Y. Thiry<sup>2</sup>

<sup>1</sup> IRSN, CE Cadarache, France <sup>2</sup> ANDRA, Chatenay-Malabry, France

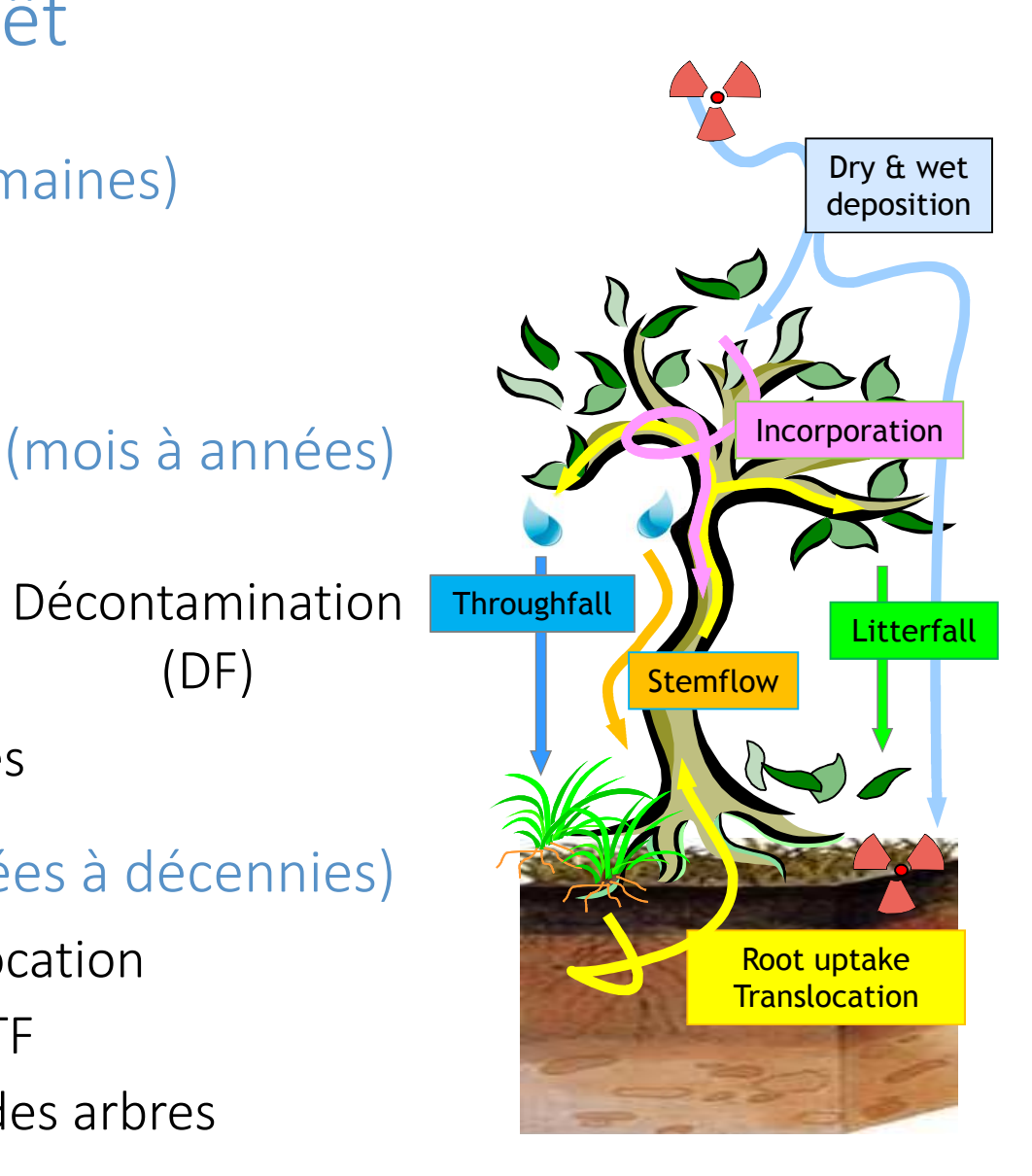
Congrès ICOBTE 2017, juillet 2017, Zürich Congrès ICRER 2017, septembre 2017, Berlin

#### Devenir du <sup>137</sup>Cs en forêt

- Phase de dépôt (jours à semaines)
  - Dépôt sec
  - Dépôt humide (pluie)
- Phase de décontamination (mois à années)
  - Chute des feuilles (LF)
  - Pluvio-lessivage (TF)
  - Ruissellement /tronc (SF)
  - Incorporation bois et racines
- Recyclage long terme (années à décennies)

(DF)

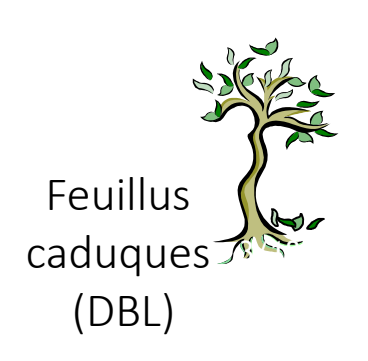
- Transfert racinaire & translocation
- Pertes des arbres par LF & TF
- Croissance de la biomasse des arbres



# Enjeux de recherche

- Acquérir une meilleure compréhension / connaissance quantitative à partir des études de terrain réalisées après l'accident de Fukushima
- Avec l'objectif d'améliorer les modèles développés après l'accident de Tchernobyl pour différentes catégories de forêts



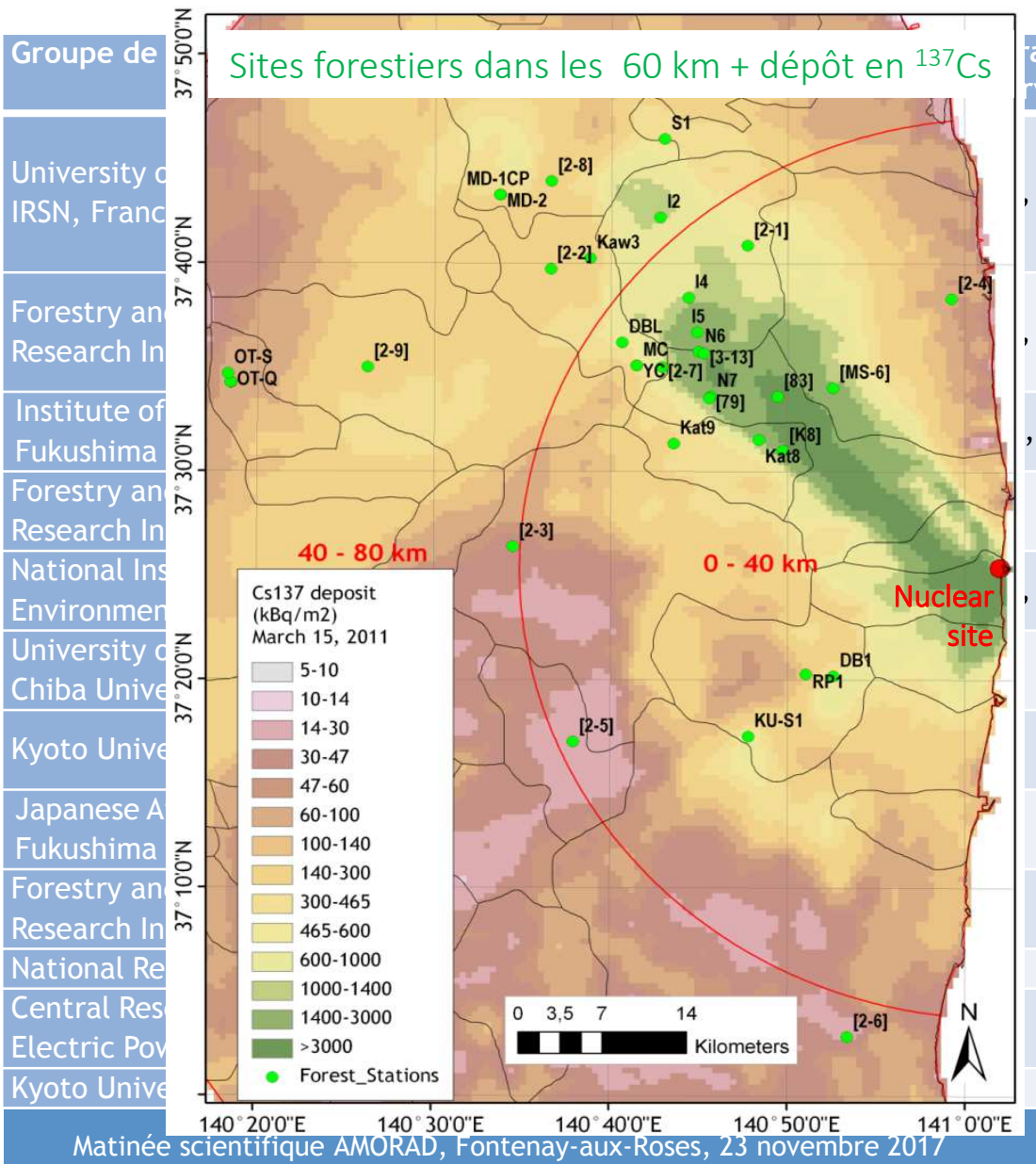




#### Etudes sélectionnées



#### 82 sites = 61 EGC + 7 DBL + 14 mixtes



ratégie de rveillance	Référence
, S2, S3	Kato et al., 2012, 2014, 2017; Loffredo et al., 2014, 2015; Takahashi, 2015; Hisadome et al., 2013; Teramage et al., 2014; Coppin et al., 2016
, S3	Komatsu et al., 2016; Kajimoto et al., 2015; Kuroda et al., 2013; Imamura et al. 2017
, S2	Yoschenko et al., 2016
	Itoh et al. 2014, 2015,
, S3	Nishikiori et al., 2015
	Endo et al., 2014, 2015; Murakami et al., 2014
	Okada et al., 2015; Nakai et al., 2015; Ohashi et al., 2014
	Niizato et al. , 2016
	Akama et al., 2013
	NRA 2017
	Yoshihara et al, 2013, 2014, 2016
	Koizumi et al., 2013

# Stratégies d'échantillonnage

(S1) Echantillonnage annuel des horizons de sol et des arbres entiers

- Biomasses (kg.m<sup>-2</sup>)
- Concentrations (Bq.kg<sup>-1</sup>)
- Stocks (Bq.m<sup>-2</sup>)
- ⇒ Flux de décontamination annuel DF (Bq.m<sup>-2</sup>.yr<sup>-1</sup>)

#### (S2) Echantillonnage hebdomadaire avec collecteurs

- Chutes de biomasse, flux d'eau (kg m<sup>-2</sup> d<sup>-1</sup>)
- Concentrations
- $\Rightarrow$  Flux TF, SF, LF
- $\Rightarrow$  DF=TF+SF+LF



Concentrations

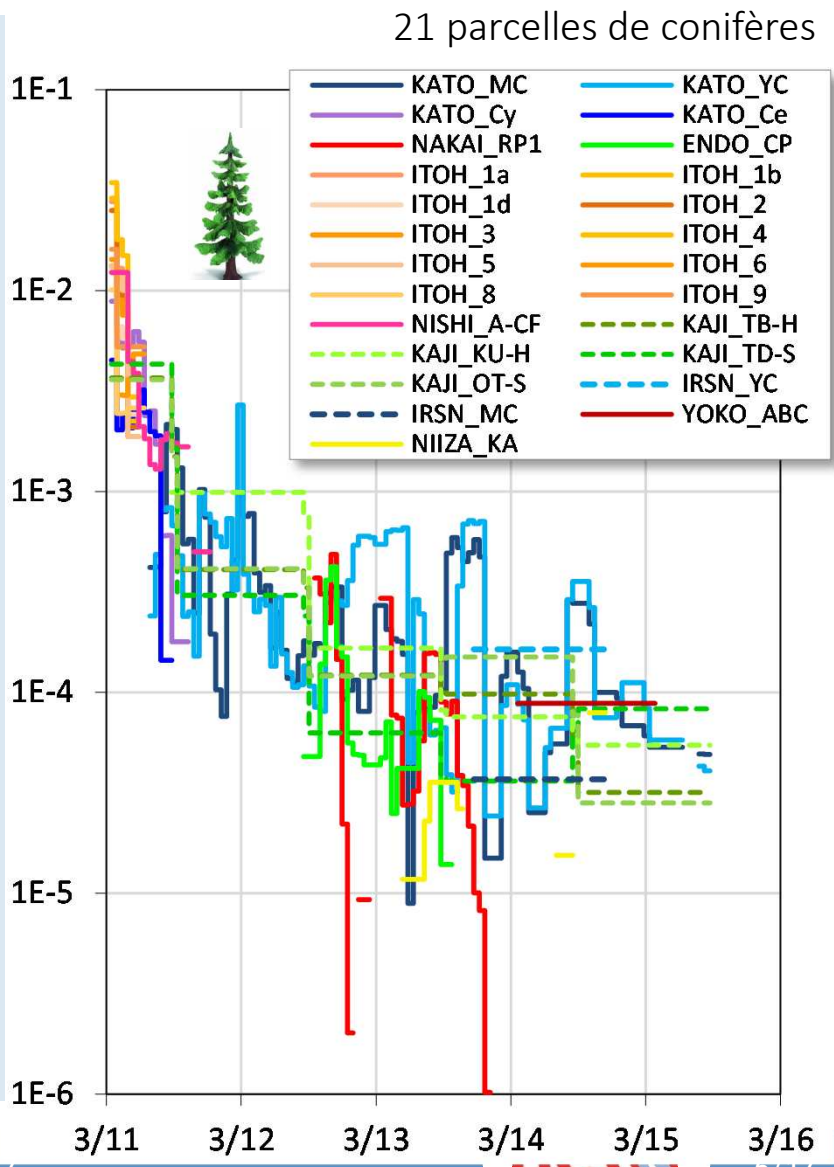






## Pré-traitement des données <sup>137</sup>Cs

- Normalisation par le dépôt
  ⇒ concentrations (m².kg⁻¹), flux (j⁻¹), stocks (-)
- 2. Estimation du flux de décontamination (DF) annuel sur les sites S1 avant l'automne 2011, sur la base d'une valeur plausible du facteur d'interception f: 70%-95% (EGC)



Flux de décontamination (j-1)

#### Pré-traitement des données

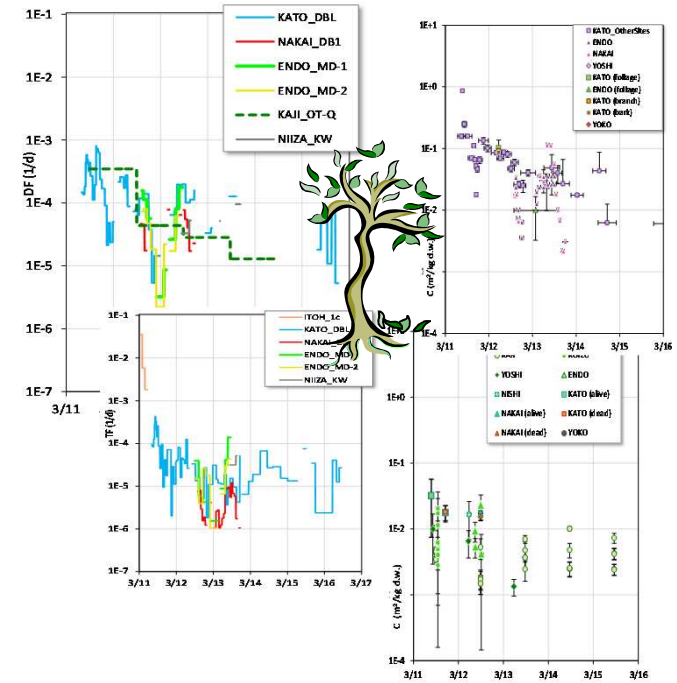
- Normalisation par le dépôt
  ⇒ concentrations (m².kg⁻¹), flux (j⁻¹), stocks (-)
- 2. Estimation du flux de décontamination (DF) annuel sur les sites S1 avant l'automne 2011, sur la base d'une valeur plausible du facteur d'interception *f*: 70%-95% (EGC)
- 3. Estimation des concentrations dans les arbres et les chutes de biomasse via la moyenne géométrique des données pour chaque site, à la même date et pour la même catégorie d'arbres

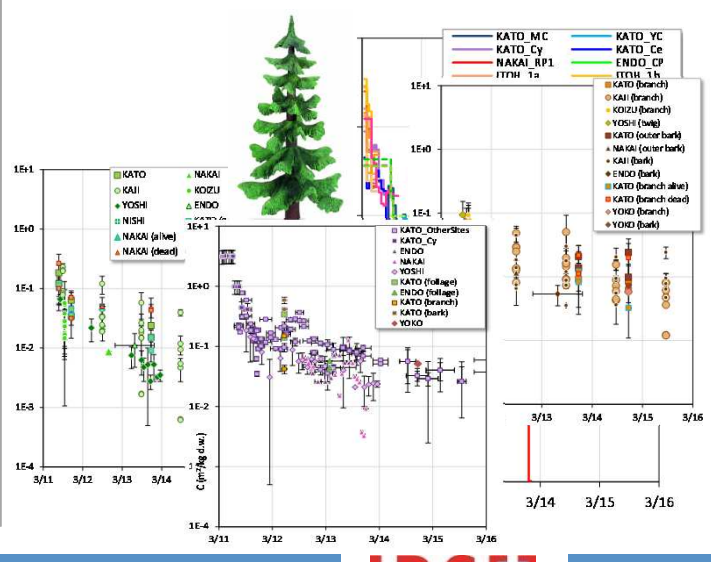
Concentration dans les aiguilles (m<sup>2</sup>.kg<sup>-1</sup>) des conifères 1E+1 **■ KATO** NAKAI KAJI KOIZU A ENDO YOSHI KATO (alive) ■ NISHI 1E+0 NAKAI (alive) ■ KATO (dead) ▲ NAKAI (dead) ● YOKO 1E-1 1E-2 1E-3 1E-4 3/11 3/12 3/13 3/14 3/15 3/16

# Analyse exploratoire des données

- Individuellement, aucune étude ne fournit une image complète de l'évolution du Cs sur l'intégralité des 5 années
- Une certaine cohérence dans les données des différents sites (globalement avec une variation d'un facteur 5)
- Les caractéristiques écologiques des parcelles de conifères varient peu entre les différents sites (âge des arbres, densité, biomasse aérienne, hauteur des arbres, diamètre des troncs...)

⇒ Ce qui permet de calculer un comportement « représentatif » du Cs dans les forêts de conifères (c'est-à-dire une évolution générique)

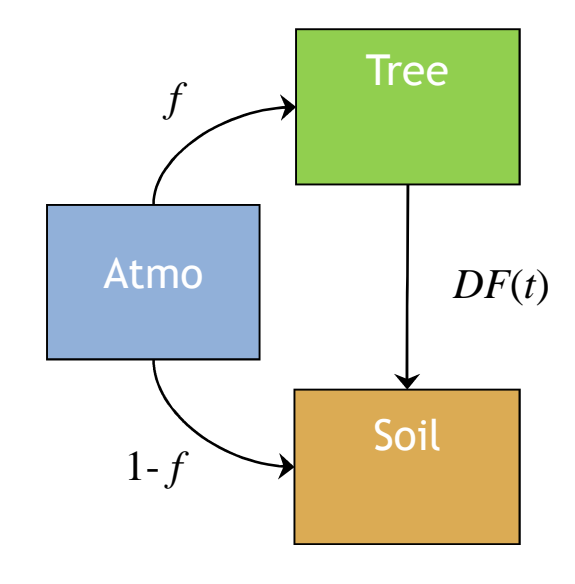




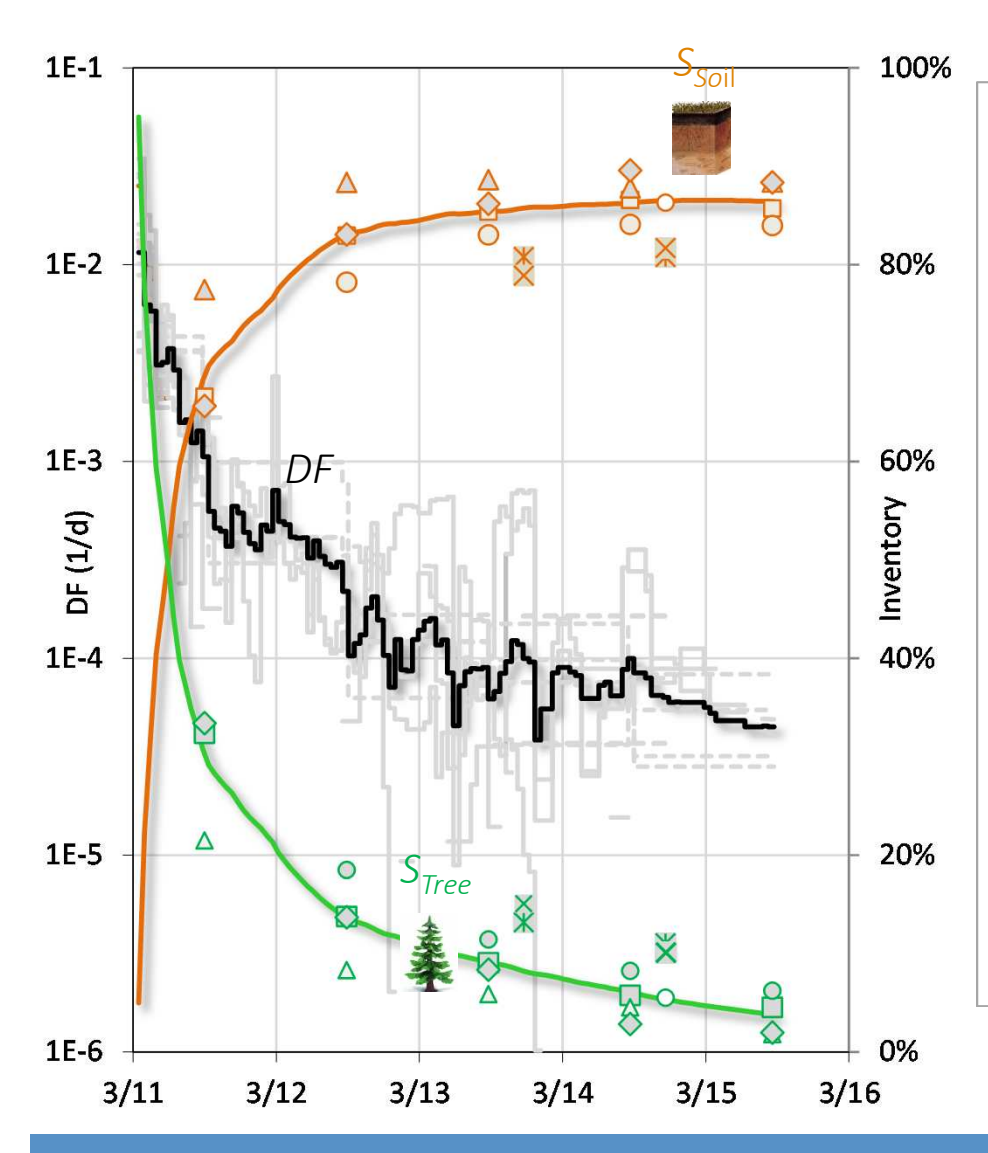
# Calcul de l'évolution générique du <sup>137</sup>Cs

- 4. Flux de décontamination (*DF, TF, SF, LF*), concentrations et biomasses : via la moyenne géométrique des sites
- 5. Stocks dans les arbres  $(S_{Tree})$  et le sol  $(S_{Soil})$ :

$$\left( \frac{d}{dt} + \lambda^{rad} \right) S_{Tree} = f \times \delta(t) - DF(t)$$
 
$$\left( \frac{d}{dt} + \lambda^{rad} \right) S_{Soil} = (1 - f) \times \delta(t) + DF(t)$$
 
$$\uparrow$$
 Décroissance Fonction Dirac radioactive (t=0: date du dépôt)



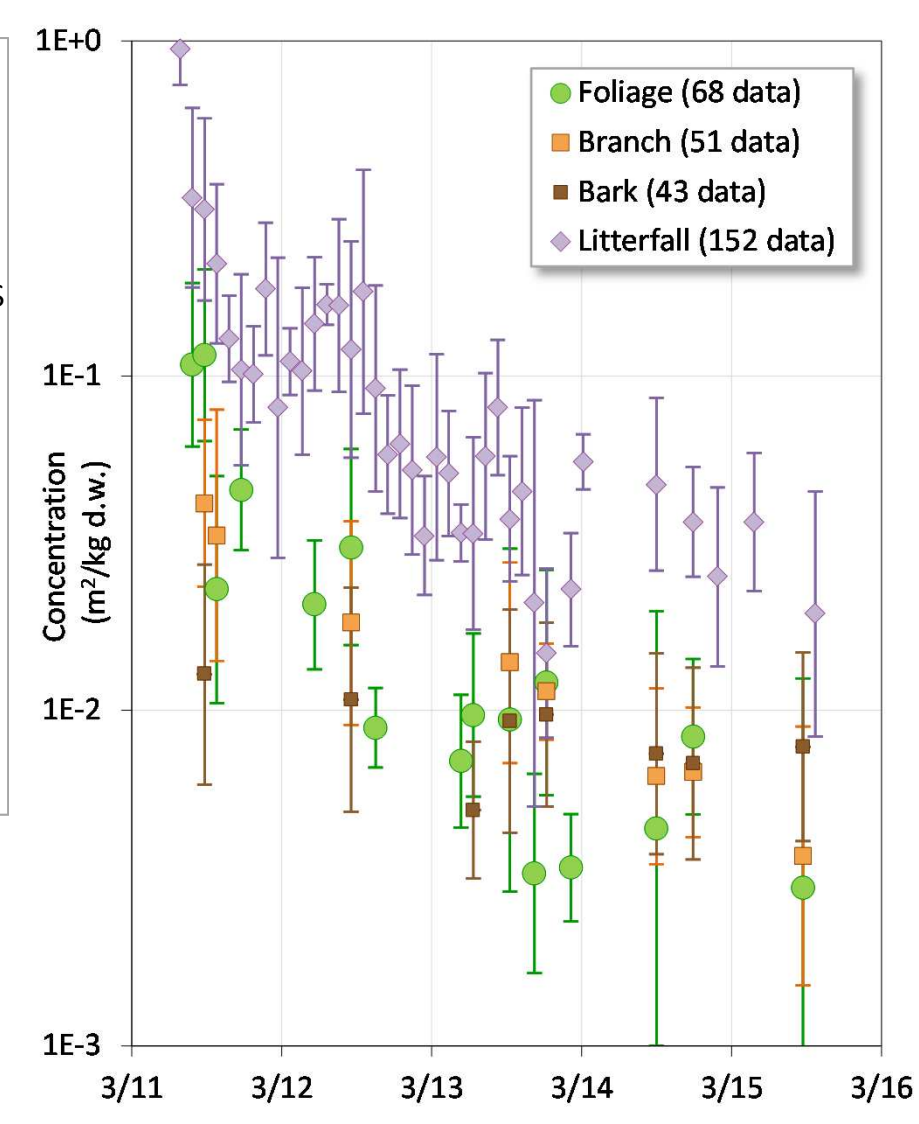
## Flux de décontamination et stocks - Conifères (f=95%)



- DF décroît de ~2 ordres de grandeur, de 1 % à <0.01 % j<sup>-1</sup>
- *S*<sub>tree</sub> décroît de 95% à <5%,
- 2 demi-vies caractéristiques : 50 jours et 20 mois
- Dans la gamme de ce qui est reporté par Bunzl et al. 1989, Tikhomirov and Shcheglov 1991, 1994

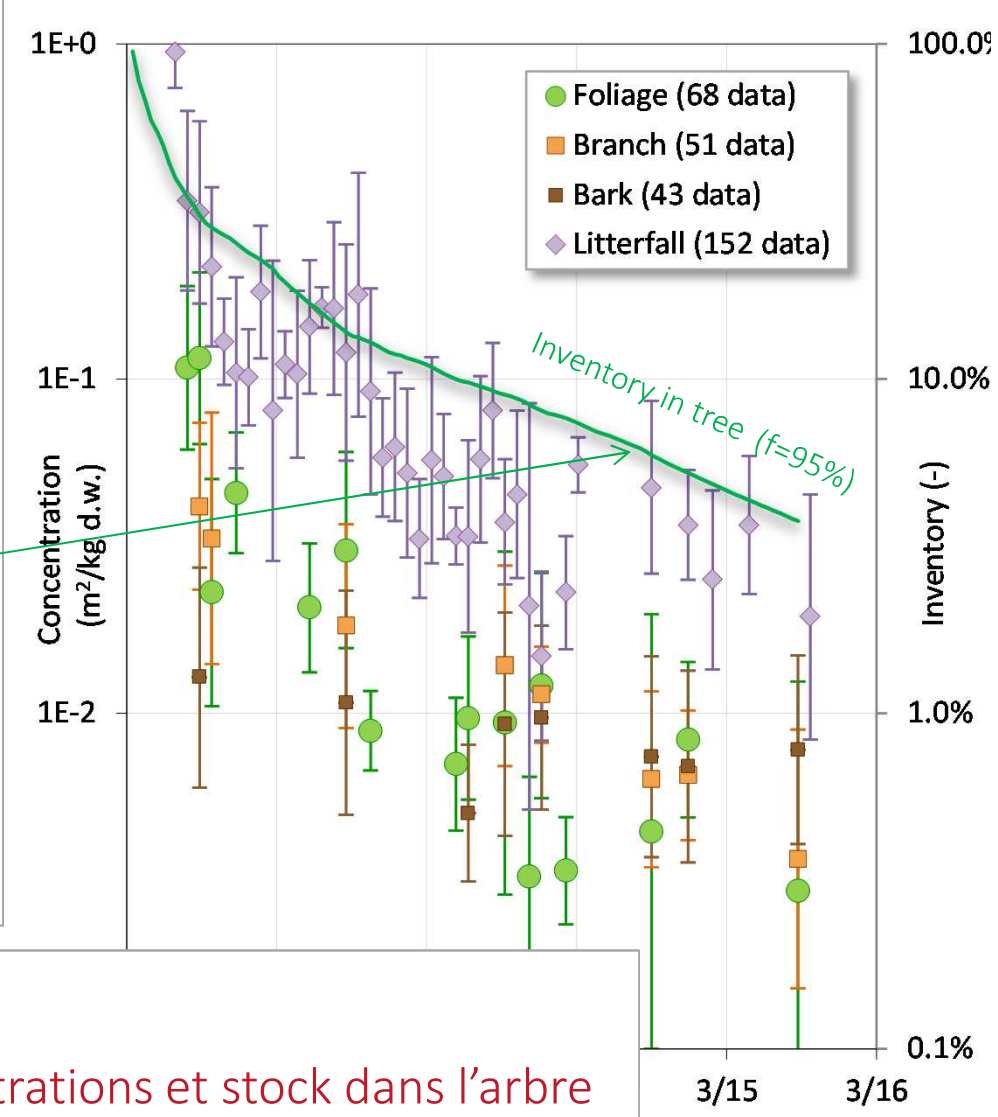
#### Concentrations dans les conifères

- Chutes de biomasse >> végétation en place
- A cause d'une plus grande proportion d'aiguilles « pré-Fukushima » (= apparues avant l'accident de Fukushima) dans les chutes de biomasse
- En 4 ans : diminution d'un facteur 16 (aiguilles), 10 (branches), 2 (écorce)



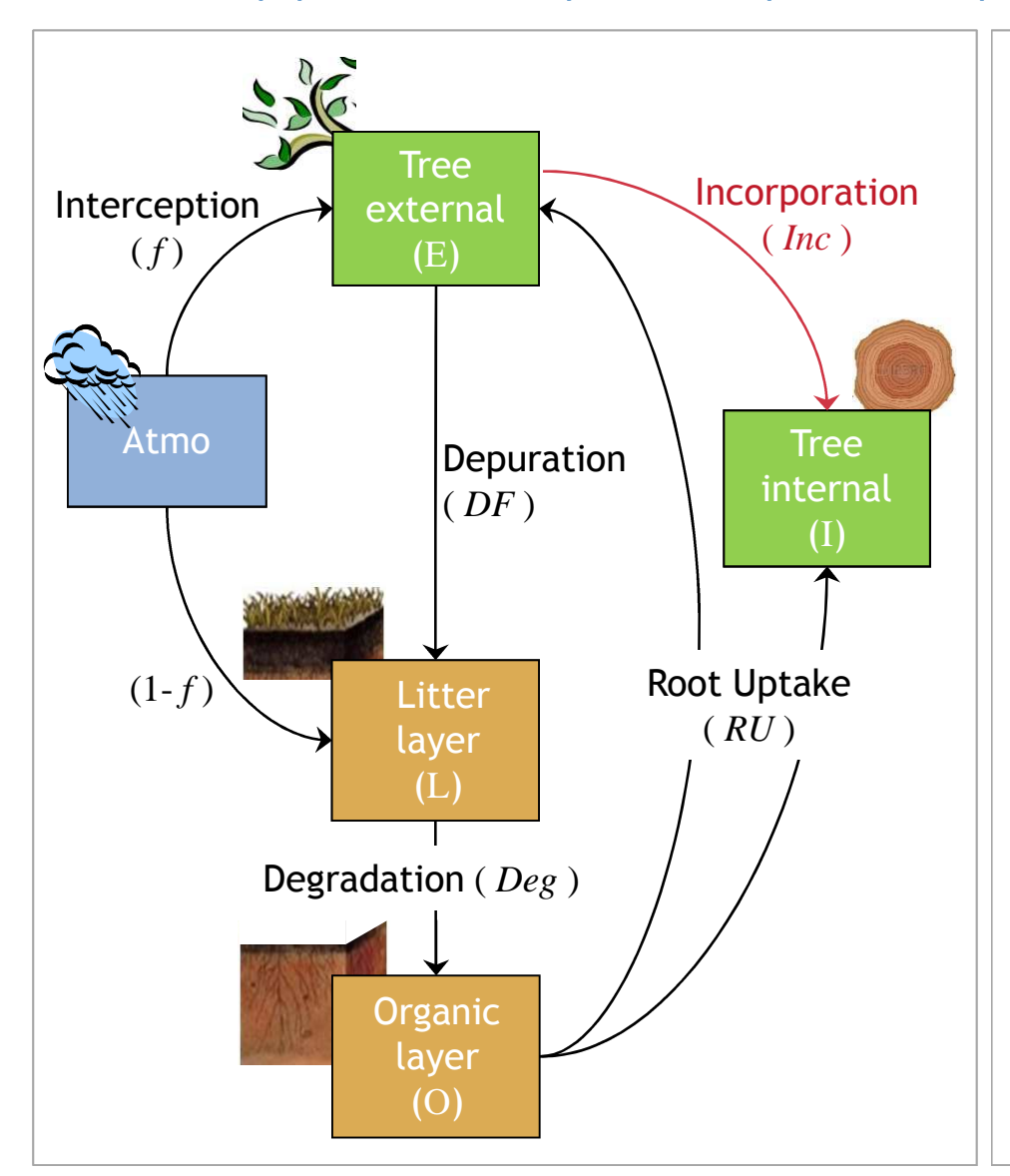
## Concentrations génériques dans les organes des arbres EGC

- Chutes de biomasse >> végétation en place
- A cause d'une plus grande proportion d'aiguilles « pré-Fukushima » (= apparues avant l'accident de Fukushima) dans les chutes de biomasse
- En 4 ans : diminution d'un facteur 16 (aiguilles), 10 (branches), 2 (écorce)
- Plus rapide que celle du stock dans l'arbre prédite par la seule décontamination et décroissance radioactive
- Cause = incorporation dans les organes internes de l'arbre



- ⇒ Quantifier le flux d'incorporation
- ⇒ Vérifier la cohérence entre concentrations et stock dans l'arbre

## Une approche dynamique simplifiée



$$\left(\frac{d}{dt} + \lambda^{rad}\right)S_{E} = f \times \delta(t) - DF - Inc + RUe$$

Concentration 
$$_{\rm E} = \frac{S_{\rm E}}{Biomass_{\rm E}}$$
  $Inc = \lambda^{inc} \times S_{\rm E}$ 

$$Inc = \lambda^{inc} \times S_{E}$$

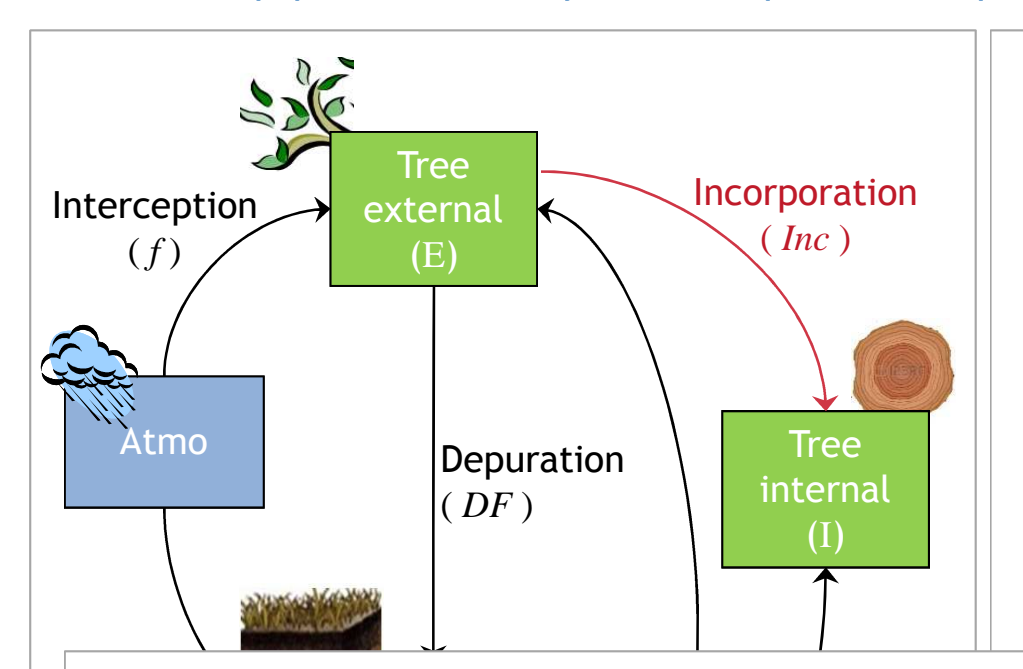
$$\left(\frac{d}{dt} + \lambda^{rad}\right) S_{\rm I} = Inc + RUi$$

$$Concentration_{\rm I} = \frac{S_{\rm I}}{Biomass_{\rm I}}$$

$$\left(\frac{d}{dt} + \lambda^{rad}\right) S_{L} = (1 - f) \times \delta(t) + DF - Deg$$

$$\left(\frac{d}{dt} + \lambda^{rad}\right) S_{O} = Deg - RUe - RUi$$

## Une approche dynamique simplifiée



$$\left(\frac{d}{dt} + \lambda^{rad}\right)S_{E} = f \times \delta(t) - DF - Inc + RUe$$

Concentration 
$$_{\rm E} = \frac{S_{\rm E}}{Biomass_{\rm E}}$$
  $Inc = \lambda^{inc} \times S_{\rm E}$ 

$$Inc = \lambda^{inc} \times S_{E}$$

$$\left(\frac{d}{dt} + \lambda^{rad}\right) S_{\rm I} = Inc + RUi$$

$$Concentration_{\rm I} = \frac{S_{\rm I}}{Biomass_{\rm I}}$$

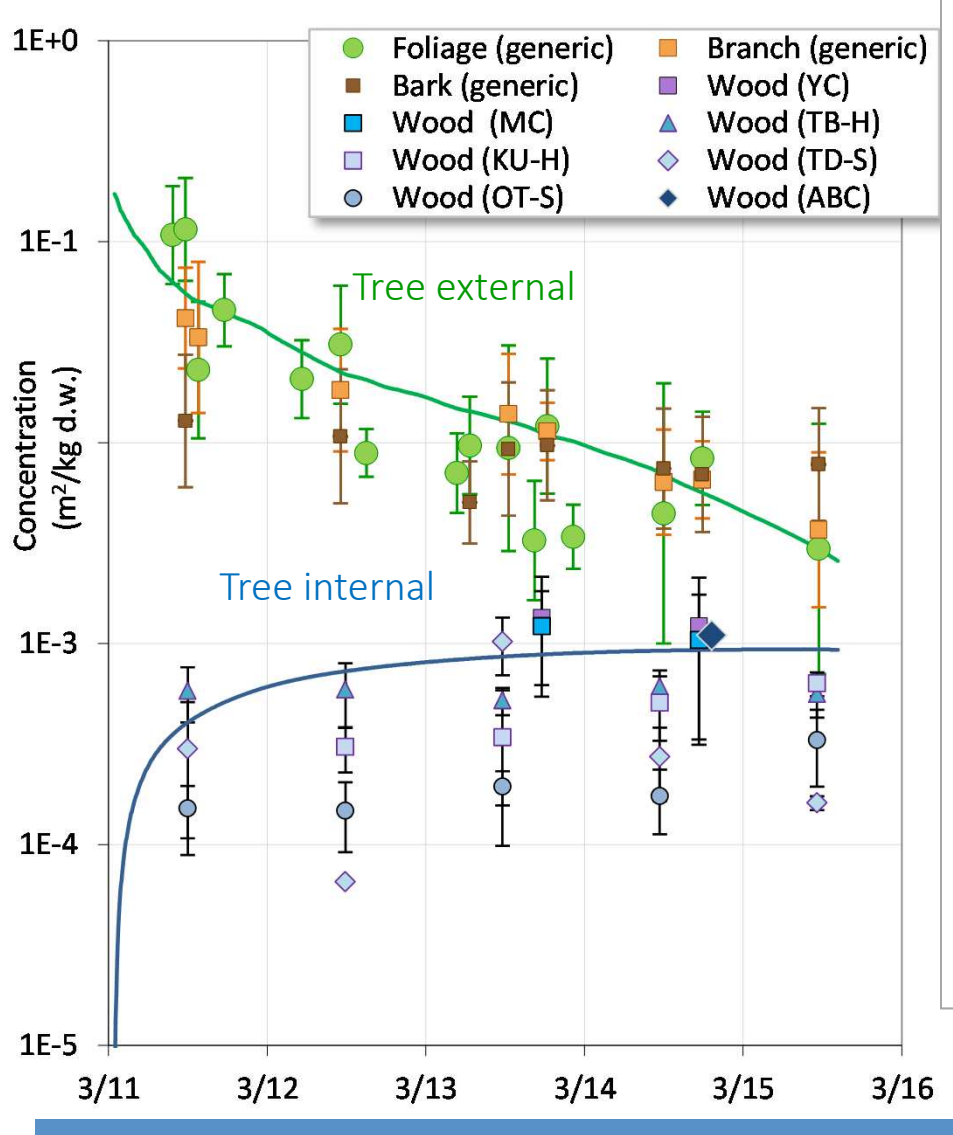
#### Méthode:

- 1- Calibrer  $\lambda^{inc}$  par ajustement de "External concentrations" aux observations
- 2- Vérifier que "Internal concentrations" cohérent avec observations

#### Avec:

- f imposé, DF (issu de la méta-analyse) et Biomasses (valeurs génériques)
- RootUptake estimé à l'aide du modèle RIFE (Shaw et al. 1994, Hashimoto et al. 2013)

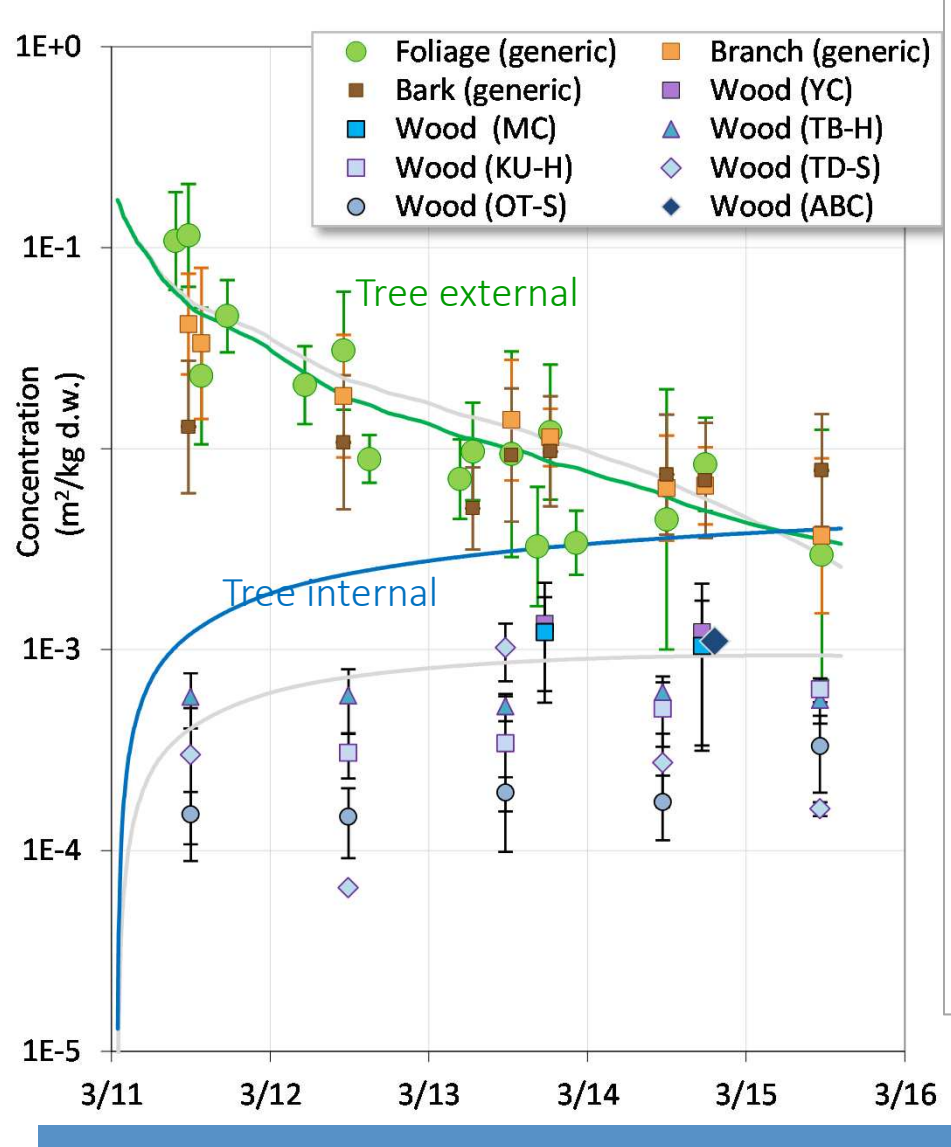
## « Best-estimate » concentrations - conifères (*f*=95%)



#### Sans transfert racinaire

- $\lambda^{inc} \approx 10^{-4} \text{ j}^{-1}$
- Augmentation rapide dans les organes internes, jusqu'à 10<sup>-3</sup> m<sup>2</sup> kg<sup>-1</sup>
- En accord avec TRS 472 (*IAEA 2010*)
- Surestimation modérée de certaines valeurs reportées par *Imamura et al.* 2017

## « Best-estimate » concentrations - conifères (*f*=95%)



#### Sans transfert racinaire

- $\lambda^{inc} \approx 10^{-4} \text{ j}^{-1}$
- Augmentation rapide dans les organes internes, jusqu'à 10<sup>-3</sup> m<sup>2</sup> kg<sup>-1</sup>
- En accord avec TRS 472 (IAEA 2010)
- Surestimation modérée de certaines valeurs reportées par *Imamura et al.* 2017

#### Avec transfert racinaire

- $\lambda^{inc} \approx 4 \cdot 10^{-4} \, j^{-1}$
- Forte surestimation

# Conclusion

- Méta-analyse ~40 études de sites (~2000 données spatio-temporelles)
- La plupart pour des forêts de conifères, manque de données pour forêts de feuillus et mixtes!
- Pour les forêts de conifères, évolutions génériques des concentrations, flux, stocks en <sup>137</sup>Cs ont pu être déterminées, puis « expliquées » (dans une certaine mesure) grâce à un modèle dynamique simplifié:
  - ~95% du dépôt vraisemblablement intercepté
  - ~85% transféré au sol en 5 ans (selon 2 demi-vies)
  - ~4% incorporé principalement à partir du feuillage (selon 1 demi-vie)
- Un jeu de données utile pour améliorer les modèles dynamiques développés après l'accident de Tchernobyl

#### Merci de votre attention



## **APPENDICES**



Mean ecological characteristics (EGC forests):

- mean tree age: 41±10 y (n=11)
- stand density: 1510±530 trees ha<sup>-1</sup> (n=21)
- above-ground biomass: 23.5±9 kg m<sup>-2</sup> (n=6)
- mean tree height: 18±3 m (n=8)
- mean trunk diameter: 22±5 cm (n=21)